



図 1

Vol. 50 No. 3 p. 77に掲載

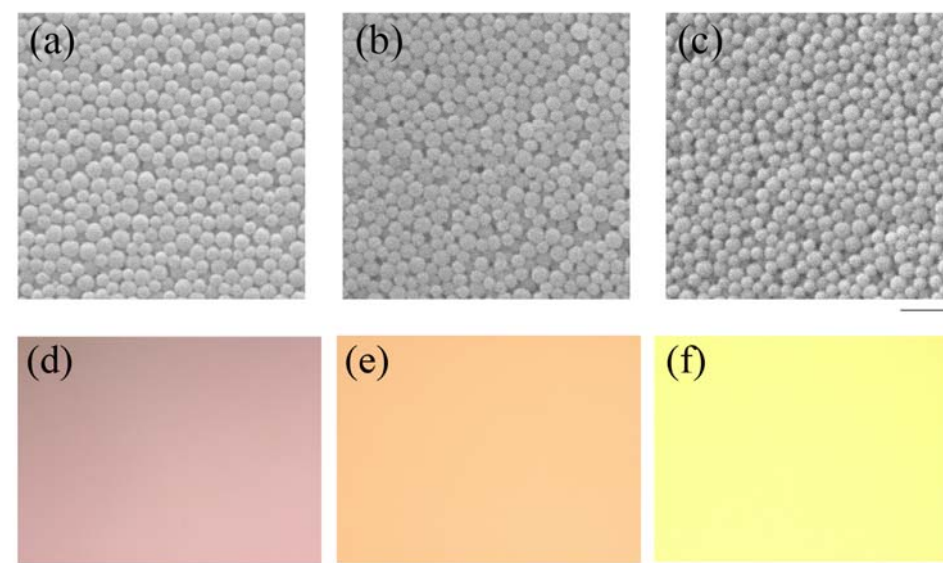


図3

Vol. 50 No. 3 p. 78に掲載

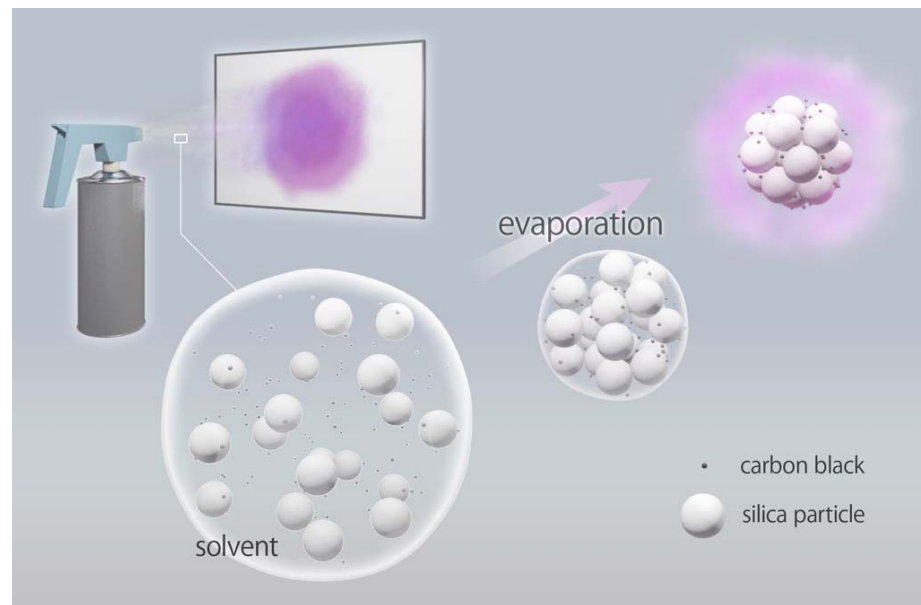


図4

Vol. 50 No. 3 p. 79に掲載

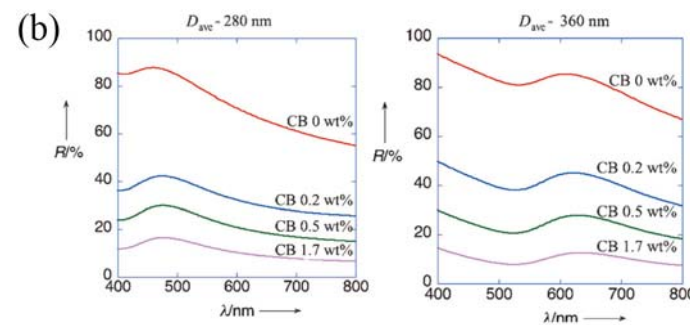


図5

Vol. 50 No. 3 p. 80に掲載

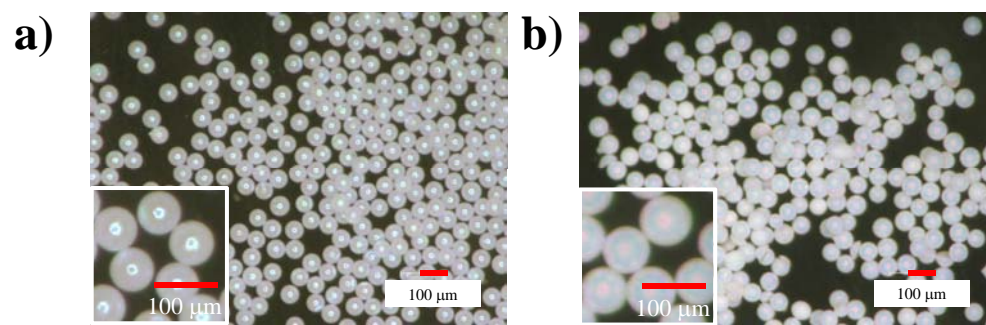
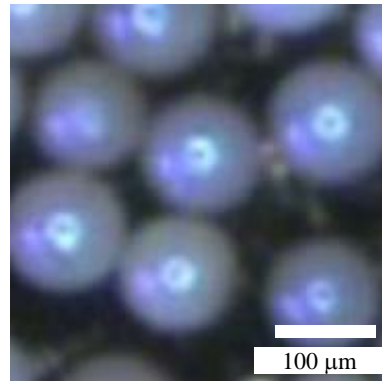


図 7

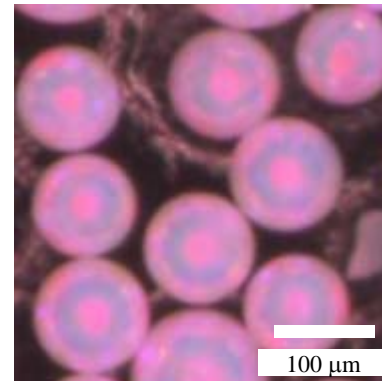
Vol. 50 No. 3 p. 81に掲載

a)



250 nm silica particle +  $\text{Fe}_3\text{O}_4$

b)

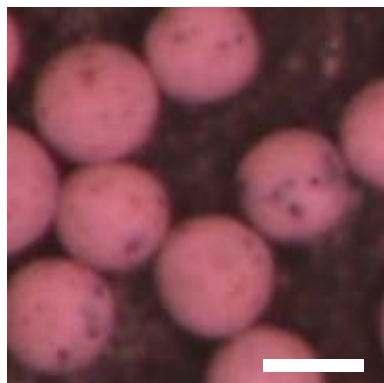


310 nm silica particle +  $\text{Fe}_3\text{O}_4$

図9

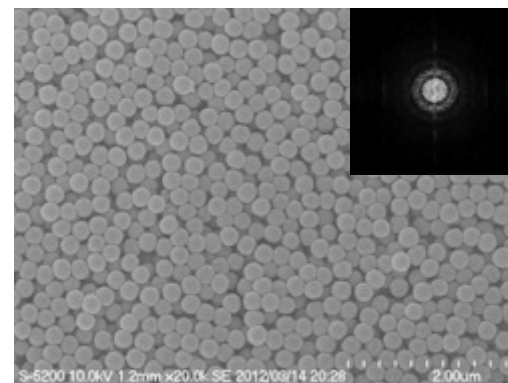
Vol. 50 No. 3 p. 82に掲載

a)



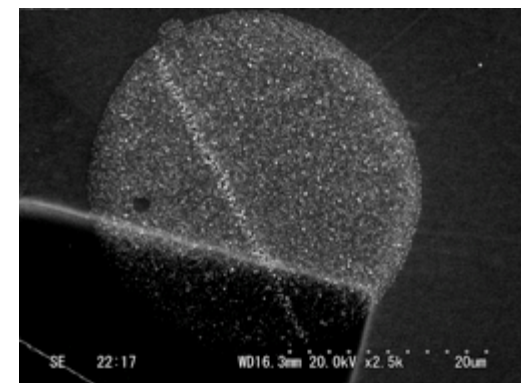
310 nm silica particle +  $\text{Fe}_3\text{O}_4$  + salt

b)



250 nm particle +  $\text{Fe}_3\text{O}_4$  + salt surface

c)



250 nm particle +  $\text{Fe}_3\text{O}_4$  + salt cross section

図 11

Vol. 50 No. 3 p. 82に掲載